

## بررسی نقش و اداستهای منطقه‌ای، در شکل‌گیری الگوی مکانی مخاطره‌ی برف سنگین بهمن ۱۳۹۲ در جلگه‌ی گیلان

پروین غفاریان<sup>۱\*</sup>، نیما فرید مجتبه‌ی<sup>۲</sup>، محمد مرادی<sup>۳</sup>، فرامرز خوش‌اخلاق<sup>۴</sup>، حسین عابد<sup>۵</sup>، سمانه نگاه<sup>۶</sup>

- ۱- استادیار پژوهشکده علوم جوی، پژوهشگاه ملی اقیانوس‌شناسی و علوم جوی، تهران، پست الکترونیک: p.ghafarian@inio.ac.ir
- ۲- دانشجوی دکتری آب و هواشناسی، دانشگاه تهران، کارشناس مطالعات اداره کل هواشناسی گیلان، رشت، پست الکترونیک: nima.mojtahedi@gmail.com
- ۳- استادیار گروه هواشناسی هوانوردی، پژوهشکده هواشناسی و علوم جوی، تهران، پست الکترونیک: moradim36@gmail.com
- ۴- استادیار گروه جغرافیا طبیعی، دانشگاه تهران، پست الکترونیک: fkhosh@ut.ac.ir
- ۵- کارشناس ارشد آب و هواشناسی، رئیس گروه تحقیقات اداره کل هواشناسی گیلان، رشت، پست الکترونیک: kamranabed@yahoo.com
- ۶- دکتری هواشناسی، کارشناس مطالعات اداره کل هواشناسی گیلان، رشت، پست الکترونیک: samaneh\_negah@yahoo.com

تاریخ پذیرش: ۹۵/۷/۳

\* نویسنده مسؤول

تاریخ دریافت: ۹۵/۱/۳۰

© نشریه علمی - پژوهشی اقیانوس‌شناسی ۱۳۹۵، تمامی حقوق این اثر متعلق به نشریه اقیانوس‌شناسی است.

### چکیده

بارش برف سنگین از جمله مخاطرات جوی است که پیش‌بینی شدت و مکان آن اهمیت زیادی دارد. در این مقاله، مکان ارتفاع پیشنهادی برف سنگین رخداد بهمن ۱۳۹۲ در استان گیلان شناسایی و علت آن واکاوی شد. برای بررسی این پدیده از داده‌های دیدبانی ایستگاه‌های همدیدی استان گیلان و داده‌های بازتحلیل مرکز ملی پیش‌بینی محیط زیست - مرکز ملی پژوهش‌های جوی (NCEP/NCAR) استفاده شد. برای شبیه‌سازی سامانه از مدل WRF و برای پایش آن از تصاویر سنجنده‌ی مودیس بهره گرفته شد. نتایج نشان‌دهنده‌ی شکل‌گیری سلول پرفشار ثانویه در مقیاس محلی، ناشی از واداشت پهنه‌ی سرد ناهمواری‌های قفقاز و شارش جریان‌های سرد کوه به دشت، روی جلگه‌ی کورا است. برخورد بادهای شرق‌سوی این سلول با جریان‌های غرب‌سوی ناشی از تونده هموی پرفشار قطبی که روی شمال شرق دریای کاسپین واقع شده، موجب همگرایی جهت باد سطحی به محدوده‌ی کوچکی در حوالی جنوب تالاب انزلی شده است. باند ابر که در تصویر سنجنده مودیس ماهواره‌ی ترا و تصویر شدت بارش را در گیلان مشاهده می‌شود، متنطبق بر ناحیه همگرایی باد است. هسته‌ی پیشنهادی شار گرمای نهان به عنوان واداشت ترمودینامیکی روی پهنه کاسپین جنوبی در شرق گیلان، موبد تاثیر عوامل منطقه‌ای بر الگوی مکانی پیشنهادی ارتفاع برف است.

کلمات کلیدی: برف سنگین، مدل عددی WRF، نوار همگرایی، پرفشار ثانویه، جلگه‌ی گیلان.

## ۱. مقدمه

در حاشیه دریاچه‌ی چامپلین مرد مطالعه قرار دادند. این باند برف در طی دوره‌ی زمانی وزش بادهای سطحی جنوبی ضعیف، یک موقعیت متمایز و مستند نشده را برای رخداد برف دریاچه‌ای فراهم می‌کند. برف‌های ناشی از دریاچه در برخی از پهنه‌های آبی دیگر مناطق مختلف جهان، از جمله دریاچه بزرگ نمک (Sobash and Larid, 2005)، دریاچه فینگر (Steenburg, 2000) دریاچه چامپلین (Payer et al, 2007) و دریاچه‌های کرچک در غرب و غرب میانه (Wilken, 1997) و برخی سواحل شمال شرقی ایالات متحده، در دریای ژاپن (Higuchi, 1963)، کره‌جنوبی، خلیج فنلاند و خلیج‌های هودسن<sup>۲</sup>، سنت لورنس<sup>۳</sup> در کانادا و دریای سیاه (Kidnap, 2006) شناسایی شده است. سرزمین گیلان با توجه به موقعیت جغرافیایی و آب و هوایی خاص خود، تحت تأثیر پدیده‌های فرین قرار می‌گیرد. از جمله‌ی این پدیده‌های جوی، برف‌های سنگین و توفان‌های برف هستند که هر از چندگاهی سبب شکل‌گیری بحران‌هایی در سطح منطقه می‌شوند. هرچند رخداد برف‌های سنگین مخاطره‌ای شناخته شده در جلگه‌ی گیلان محسوب می‌شود (فرید مجتبهدی و همکاران، ۱۳۸۵؛ فهیمی‌نژاد و همکاران، ۱۳۸۶؛ مورنپور و همکاران، ۱۳۹۳). با این حال، در برخی از ابعاد این مخاطره‌ی محیطی هنوز ابهام‌های علمی وجود دارد. یکی از این مسائل، الگوی مکانی پوشش برف در جلگه‌ی گیلان است. الگوی مکانی بیشینه‌ی برف، مناطق آسیب‌پذیر از برف را تعیین می‌نماید. پهنه‌ی جغرافیایی درگیر با این مسئله منطبق بر جلگه‌ی مرکزی گیلان از حوالی غرب تلااب انزلی تا حوالی شرق لاهیجان است. با این حال، شرایط رخداد در این پدیده‌ها در هر مورد به گونه‌ای است که تفاوت‌های مکانی خاصی را نشان می‌دهند (نگاه و همکاران، ۱۳۹۳). تفاوت کانون‌های شدت بارش و به تبع آن بیشینه‌ی ارتفاع برف نشسته در جلگه‌ی گیلان، سبب شده که پهنه‌های مرتبط با خسارت در این منطقه در هر مورد دارای جابجایی مکانی باشند. شناخت و پیش‌بایی چنین پدیده‌هایی نقش موثری در کاهش خسارت و پیش‌گیری و مقابله با این پدیده‌ها دارد. هدف از انجام این پژوهش، شناسایی دلایل شکل‌گیری کانون شدت و ارتفاع بیشینه‌ی برف رخداد بهمن ۱۳۹۲ در بخش غربی جلگه‌ی گیلان به ویژه جنوب تلااب انزلی است. با این حال، کانون پژوهش و تکیه‌ی اصلی آن بر این مسئله استوار است که

بررسی رخداد پدیده‌های جوی با ویژگی‌های فیزیکی، مکانی و زمانی خاص و خارج از الگوهای متداول آب و هوایی، یکی از موارد مطالعاتی موردن توجه دانشمندان علوم هواشناسی و آب و هواشناسی است. شناسایی سازوکار شکل‌گیری، بعد مکانی و بازه‌ی زمانی این رخدادها، کمک شایانی در به دست آوردن شناخت از رفتار آن‌ها می‌نماید. این امر در پیش‌بایی و پیش‌بینی رخداد مخاطره‌های محیطی بسیار حائز اهمیت است. بسیار از این رخدادها جزء شرایط مخاطره‌های محیطی محسوب و خسارت‌های بسیاری را در مناطقی که رخداد به بار می‌آورند. از جمله دلایلی که سبب توجه به این پدیده‌های جوی می‌شود شدت، زمان غیرمعمول رخداد، وسعت منطقه‌ی درگیر و تهاجم مخاطره‌های محیطی قرار می‌گیرند، بخش بزرگی از پژوهش‌ها را در عرصه‌ی مخاطره‌های محیطی و ارزیابی خطر در بر می‌گیرد. از این دست مطالعه‌ها در ایران می‌توان از شناسایی مناطق سیل‌گیر (بهرامی و بهرامی، ۱۳۹۰)، مناطق دارای خطر لغزش (یمانی و همکاران، ۱۳۸۹)، پهنه‌بندی فضائی خشکسالی (بابائی‌فینی و علیجانی، ۱۳۹۲)، مناطق بهمن‌گیر (قناوتی و کریمی، ۱۳۸۸) و غیره نام برد. دیگر پژوهش‌ها، مطالعه‌ی موردنی پدیده‌ها و رخدادهای منحصر به فرد یا دارای ویژگی‌های فرین است. بررسی رخدادهای موردنی یخبندان‌های فرین و فرآگیر، (عزیزی و همکاران، ۱۳۸۸)، بارش‌های سنگین و سیل‌زا (عزیزی و همکاران، ۱۳۹۰)، ترفندهای حاره‌ای (لشکری و کیخسروی، ۱۳۸۹)، رخداد تگرگ، (خوش‌اخلاق و همکاران، ۱۳۹۱)، توفان گرد و غبار (ذوق‌القاری و همکاران، ۱۳۹۰) و... از این دست مطالعه‌ها محسوب می‌شوند. Marwitz و Toth (۱۹۹۲) به مطالعه یک رخداد برف سنگین در اوکلاهما پرداختند. واداشت‌های ناشی از جبهه‌بایی و هموفت‌های میان مقیاس در ایجاد کسرband برف در آن منطقه نقش بارزی داشته‌اند. Payer و همکاران (۲۰۰۷) یک مورد باند برف<sup>۱</sup> دریاچه‌ای بی‌مانند در سال ۲۰۰۳ را

<sup>2</sup> Hudson Bay  
<sup>3</sup> Gulf of St. Lawrence

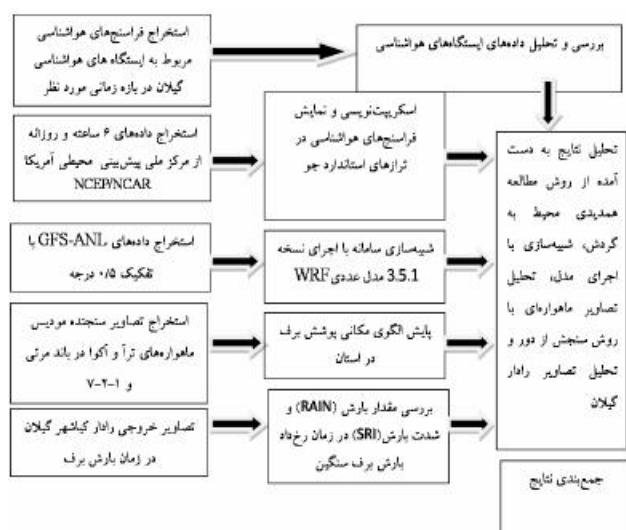
<sup>1</sup> Snow band

3.5.1 مدل عددی WRF مورد استفاده واقع شد. تعداد آشیانه‌ی انتخابی<sup>۱</sup> دو " و نسبت تفکیک افقی آشیانه‌ها ۱ به ۳ است. تفکیک افقی آشیانه‌ی اول، ۲۱ کیلومتر و آشیانه‌ی دوم ۷ کیلومتر است. آشیانه‌ی اول صفر تا درجه ۷۵ شرقی و ۱۰ درجه شمالی تا ۶۰ درجه شمالی را دربر می‌گیرد. آشیانه‌ی دوم، نیمه‌ی شمالی ایران و دریای کaspian را در بر می‌گیرد (۴۷-۳۴ درجه شمالی و ۶۰-۴۲ درجه شرقی). تفکیک افقی داده‌های زمینی برای آشیانه‌ی اول هر ۱۰ دقیقه (نوزده کیلومتر) و آشیانه‌ی دوم هر ۲ دقیقه (چهار کیلومتر) تکرار می‌شود. از سیستم تصویر لامبرت در این مدل استفاده شده است.

۴. تصاویر سنجنده مودیس ماهواره‌های ترا و آکوا در باند مرئی و ۷-۲-۱ در زمان بارش جهت پایش الگری مکانی پوشش برف در استان و همچنین آرایش الگرهای ابرهای موجود در منطقه در زمان رخداد بارش برف سنگین در جلگه‌ی گیلان مورد مطالعه قرار گرفت.

۵. تصاویر خروجی رادار کیاشهر گیلان در زمان بارش برف (RAIN) و شدت بارش (SRI) در زمان رخداد بارش برف سنگین برای پایش عملکرد سامانه در منطقه استفاده گردید.

**الگوریتم مراحل انجام کار و داده‌های مورد کاربست در شکل ۱** ترسیم شده است:



شکل ۱: الگوریتم مراحل انجام کار و داده‌های مورد کاربست در شبیه‌سازی برف سنگین گیلان

ترجمه به شرایط جغرافیایی در مقیاس منطقه‌ای و محلی در مطالعه‌ی پدیده‌های آب و هرایی جهت درک سازوکار شکل‌گیری و شناخت الگری مکانی و زمانی ضرورت بسیار زیادی دارد. شرایط همدید در مقیاس منطقه‌ای می‌تواند سازوکار پدیده‌ی مانند برف سنگین را آشکار سازد. ولی عدم توجه به محیط جغرافیایی نیمه‌ی جنوبی کaspian امکان اینکه چرا در محدوده‌ی کرچکی مانند جلگه‌ی گیلان، کانون مکانی بیشینه‌ی برف از چنین تفاوت‌های اساسی برخوردار است را نمی‌دهد. بنابراین در این پژوهش علاوه بر استفاده از آرایش نقشه‌های همدید و خروجی مدل‌های عددی، از تفسیر شرایط محیطی از جمله دمای آب سطحی و واداشت‌های محیطی بهره برده شده است.

## ۲. مواد و روش‌ها

در این مطالعه با استفاده از ۵ دسته داده، از دو روش برای انجام پژوهش استفاده شده است، در آغاز برای شناسایی الگری همدیدی-دینامیکی رخداد این پدیده، روش همدیدی "محیط به گردش"<sup>۲</sup> به کاربرده شده است. در مرحله بعد به منظور آشکارسازی عوامل منطقه‌ای با مقیاس محلی که روی عملکرد سامانه تاثیرگذار می‌باشد از روش شبیه‌سازی سامانه با استفاده از اجرای مدل عددی WRF و با تفکیک افقی بالا استفاده شده است.

مراحل انجام پژوهش به ترتیب زیر انجام شده است:

۱. فرستچه‌های هواشناسی مربروط به همه استگاه‌های همدیدی استان گیلان، برای تاریخ مورد نظر دریافت و مورد تحلیل و بررسی قرار گرفت.

۲. داده‌های بازسازی و دوباره تحلیل شده ۶ ساعته و روزانه‌ی فشارسطح دریا و میادین دما، ارتفاع زئوتانسیلی، مولقه‌های مداری و نصف‌النهاری باد و سرعت قائم ترازهای استاندارد جوی، از مرکز ملی پیش‌بینی محیطی آمریکا NCEP/NCAR روی شبکه‌ای منظم شامل کشور ایران با تفکیک افقی ۰/۵ درجه دریافت و ترسیم شد.

۳. به منظور شبیه‌سازی ساختار سامانه فوق، داده‌های GFS\_ANL<sup>۳</sup> با تفکیک افقی ۰/۵ درجه به عنوان ورودی نسخه

<sup>1</sup> Environment to circulation

<sup>2</sup> <http://www.esrl.noaa.gov/psd/data/gridded/data.ncep.reanalysis.html>

<sup>3</sup> Global Forecast System- Analysis

مناطق ارتفاعی رشته کوه قفقاز شمالی در شمال گرجستان و رشته کوه قفقاز کرچک در شمال ارمنستان احاطه شده است. جلگه‌ی مرکزی گیلان تنها پیش‌روی خشکی در منطقه‌ی کرانه‌ی جنوب‌غربی دریای کaspین است که نتیجه‌ی فعالیت رسوب‌گذاری رودخانه‌ی سفیدرود و تغییرهای تراز آب دریای کaspین در طی دوران‌های گذشته است.

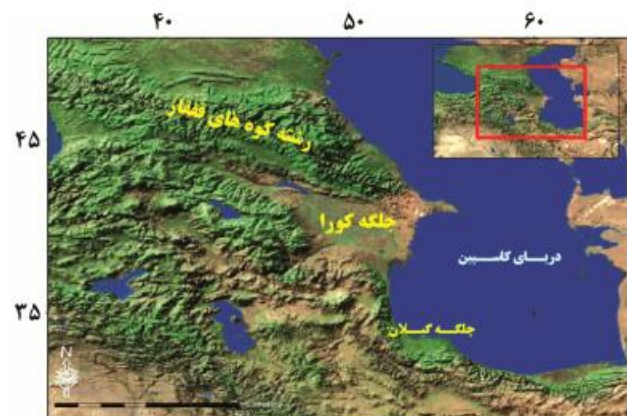
جدول ۱: پیکربندی مدل WRF

Physical Process	WRF Option
Micromysics	WSM 3-class 3(hong et al., 2006)
Short-wave radiation	(Dudhia, 1989)
Long-wave radiation	RRTM(Wild et al., 2000)
Surface layer	Monin-Obukhov (Obukhov, 1971)
Land-surface model	NOAH (Chen and Dudhia, 2001; Ek et al., 2003)
Cumulus parameterization	Kain – Fritsch (Kain, 2004)
Boundary layer scheme	YSU (Hong et al., 2010)

### ۳. نتایج و بحث

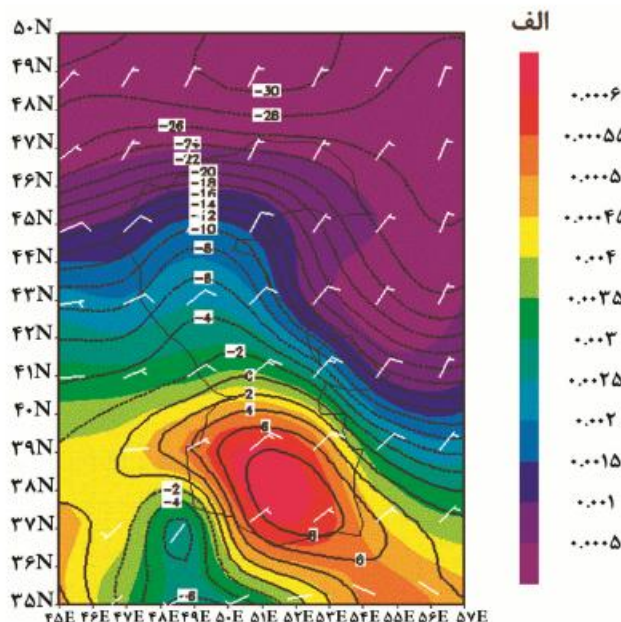
الف. روش اول: واکاوی همدید بارش برف سنگین فوریه ۲۰۱۴ با استفاده از داده‌های NCEP/NCAR در این بخش ابتدا سازوکار حاکم بر شکل‌گیری، تقویت و گسترش سامانه‌ی یاد شده در مقیاس همدید مطالعه قرار گرفت. بارش ۳۱ ژانویه تا ۴ فوریه ۲۰۱۴ به عنوان نمونه‌ی از بارش آبرسنگین برف، سرمایش و کاهش کم سابقه دما در حاشیه‌ی جنوب‌غربی دریای کaspین است. منشأ شکل‌گیری این سامانه، تردد هوای پرفشار قطبی اروپایی با فشار مرکزی حدود ۱۰۴۵ هکتوپاسکال است که هسته‌ی سرد آن روی شمال شرق اروپا و جنوب دریای بارنتز (عرض ۶۰ درجه) قرار دارد (شکل ۲ الف). این واپرخند قری ضمن گسترش جنوب و شرق‌سرا، با تردد هوای پرفشار سیبری ادغام شده و هسته آن تا ۱۰۵۰ هکتوپاسکال افزایش یافت و نفرذ زبانه‌های آن به سمت عرض‌های پایین‌تر موجب گردید که فشار در سواحل جنوبی دریای کaspین روند افزایشی و دما روند کاهشی را دنبال کند (شکل ۳ ب). این تردد هوای پرفشار، گستره‌ی جغرافیایی وسیعی را در برگرفته که بخش‌های وسیعی از کشور روسیه تا شمال چین را شامل می‌شد. با توجه به ماهیت و منشأ سرد این واپرخند که سبب ریزش هوای سرد از سمت عرض‌های نزدیک مدار قطبی (حدود ۶۰ درجه) به نیمه شمالی کشور می‌شوند، دما به شکل چشم‌گیری در سواحل جنوبی کaspین کاهش می‌یابد. حاکمیت این شرایط، گردش واپرخندی قری همراه با توابی منفی را در ترازهای زیرین جو روی پهنه کاسپین ایجاد می‌کند که با جریان شمال-شمال‌شرقی گستره را در وردش پهنه زیرین در پی دارد. این واپرخند سرد، حرکت بسیار کندی به سمت شرق دارد و تا روز ۳ فوریه زبانه‌های فشاری با جهت مناسب از سمت دریا به سوی جلگه‌ی گیلان وارد می‌شود (شکل ۳ ب).

منطقه‌ی مورد مطالعه در حاشیه‌ی غربی و جنوب‌غربی دریای کaspین واقع شده است (شکل ۲). با وجود اینکه بخش‌های بزرگی از سواحل دریای کaspین به سواحل و پس‌کرانه‌های پست متنه می‌گردد، نیمی از کرانه‌های غربی و تمامی بخش‌های جنوبی آن، به مناطق کره‌ستانی مرتفع متنه می‌شود که هر کدام از آن‌ها جزء سامانه‌های کره‌ستانی مشخص و متمایز (البرز و قفقاز) در جهان محسر محسوب می‌شوند.

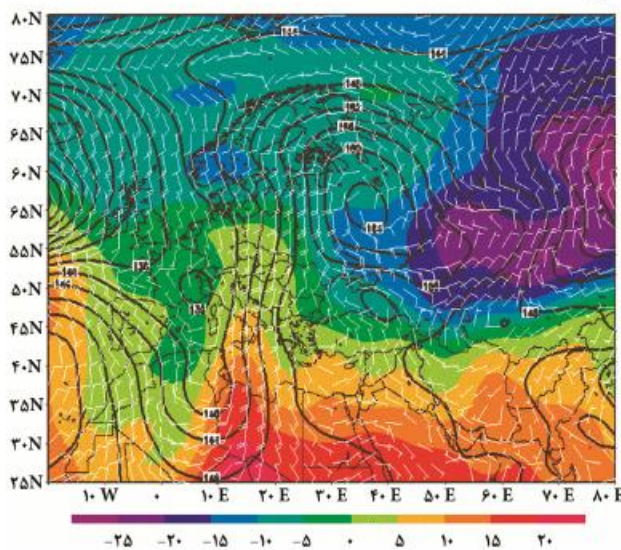


شکل ۲: موقعیت منطقه مورد مطالعه (تبیه نگارندگان)

این رشته کوه‌های بزرگ در مسیر متنه به سطح اساس خود (دریای کaspین)، چند جلگه‌ی بزرگ را به وجود آورده‌اند. از جمله‌ی این جلگه‌ها در کرانه‌ی غربی آن می‌تران از جلگه‌ی رود کورا و در سواحل جنوبی دریای کaspین، جلگه‌ی مرکزی گیلان (دلتای سفیدرود) و جلگه‌ی مرکزی مازندران نام برد. رشته کوه‌های قفقاز بزرگ مجموعه ناهموارهای میان دریای کaspین و دریای سیاه هستند که با روندی شمال‌غربی-جنوب‌شرقی کشیده شده است (گیاتاشناسی، ۱۳۷۴). این رشته کوه بسیار مرتفع است. گواه این مطلب، وجود ۷ قله بالای ۵۰۰۰ متر و ۱۳ قله‌ی ۴۰۰۰ متری است. جلگه‌ی رود کورا سرزمین کم ارتفاعی در مرکز کشور آذربایجان است که توسط

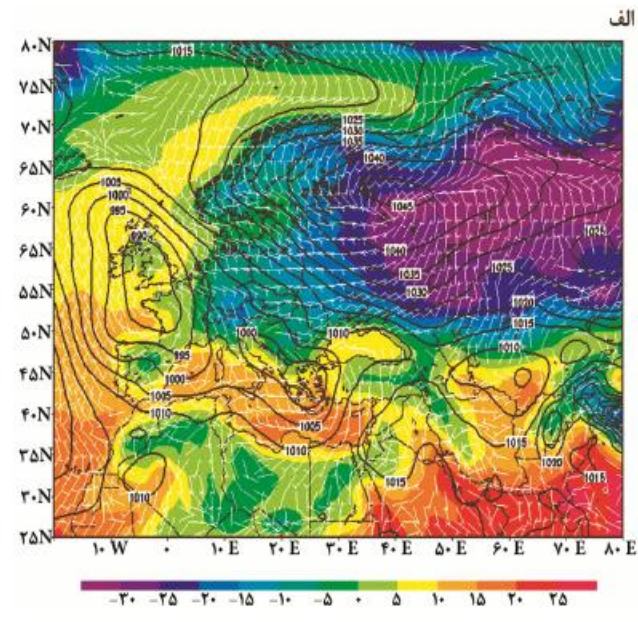


ب

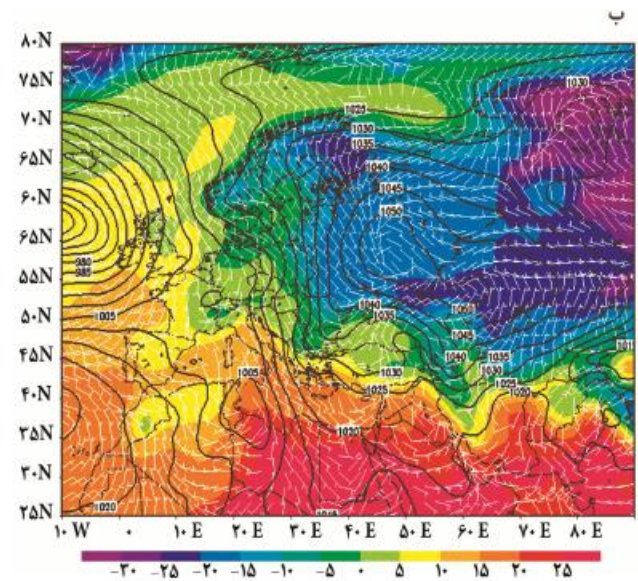


شکل ۴: (الف) الگری نم ویژه ۲ متری (سایه‌دار)، دما ۲ متری (خطوط مقدار)، میدان باد ۱۰ متری روز ۱ فوریه ۲۰۱۴ ب) الگری ارتفاع زئوباتانیلی بر حسب دکامتر (خطوط هم مقدار)، میدان دما بر حسب درجه سلسیوس (سایه‌دار)، میدان باد روز ۳۱ ژانویه ۲۰۱۴

حضور واچرخند قوی در تراز ۸۵۰ هکتپاسکالی با گردش ساعتگرد قوی روی کاسپین و تاوایی منفی، موجب شکل‌گیری و غلبه جریان‌های شمالی و شمال‌شرقی به سواحل جنوبی دریای کاسپین می‌شود (شکل ۵ الف). وجود ناوه دمایی قوی نیز با فرارفت سرد به نیمه شمالی کشور همراه است. علاوه بر این، نقش امواج غربی ناپایدار در ترازهای بالاتر که در حین عبور از نیمه شمالی کشور با تاوایی مثبت موجب تغییر و تشدید ناپایداری در ترازهای



الف



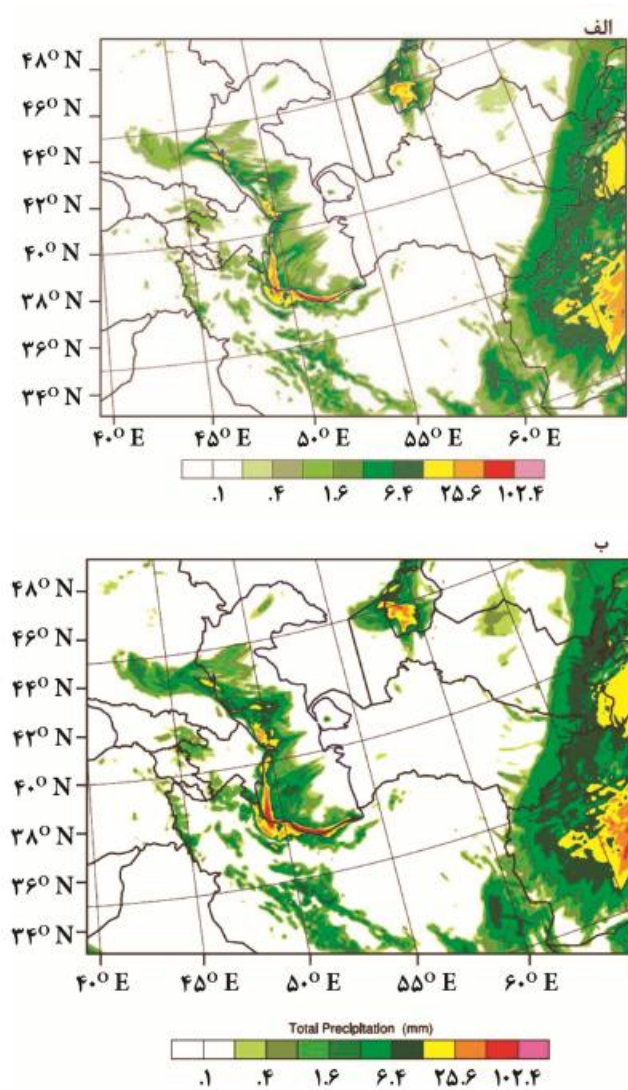
ب

شکل ۵: الگری فشار سطح دریا بر حسب مکتروپاسکال (خطوط هم مقدار)، میدان دما بر حسب درجه سلسیوس (سایه‌دار)، میدان باد (الف) روز ۳۰ ژانویه ۲۰۱۴ ب) روز ۳ فوریه ۲۰۱۴

الگری مقادیر نم ویژه و میدان باد ۱۰ متری، وجود بیشینه نم ویژه را در کاسپین جنوبی نشان می‌دهد که سازوکار پدیده‌های فیزیکی و ترمودینامیکی نظری تغییر و انتقال بخارآب به درون جر را به سبب بالا بردن دمای آب در این بخش از کاسپین و انتقال و مبالغه شارهای سطحی از ترده آب به ترده هوا را تبیین می‌کند. این شرایط می‌توانند به عنوان عاملی ثانویه در تبادل ویژگی‌های فیزیکی و انتقال رطوبت به سواحل و تشدید ناپایداری عمل نماید (شکل ۴ الف).

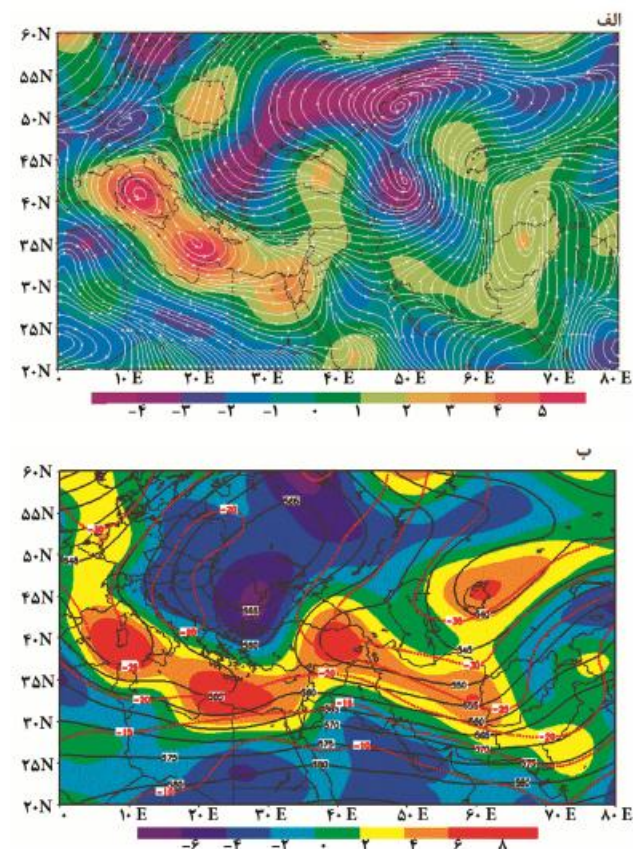
سواحل جنوبی کاسپین) و دیگری شرق گیلان و غرب مازندران (به صورت نواری پربارش در امتداد شرقی - غربی نشان می‌دهد) که انطباق مناسبی با الگوی مکانی ارتفاع برف دارد. در واقع این خروجی علاوه بر تشخیص مناسب مکانی هسته‌های بیشینه‌ی بارش، مقادیر بارش (بارش تجمعی حدود ۱۰۰ میلیمتر معادل بارش، مقادیر بارش (بارش تجمعی حدود ۱۰۰ میلیمتر معادل ۱۰۰ سانتی‌متر برف در حوالی تالاب انزلی) را نیز با دقت قابل قبولی آشکارسازی کرده است (شکل ۷ الف، ب).

زیرین وردپه‌ر می‌گردد، بسیار حائز اهمیت است. حضور ناوه‌ی ارتفاعی عمیق در تراز ۵۰۰ هکتومتراسکال، طی چندین روز متولی با تداوم ناپایداری در منطقه همراهی می‌کند. در واقع شکل‌گیری الگوی بندالی امگا ( $\Omega$ ) در مقیاس همدید و واقع شدن سواحل جنوبی دریای کاسپین دامنه فعالیت ناوه ارتفاعی شرقی استمرار بارش برف را در منطقه به دنبال دارد (شکل ۵ ب).



شکل ۶: خروجی‌های بارش تجمعی ۲۴ ساعته مدل WRF برای تفکیک افقی ۷ کیلومتر، (الف) روز دوم فوریه (ب) روز سوم فوریه.

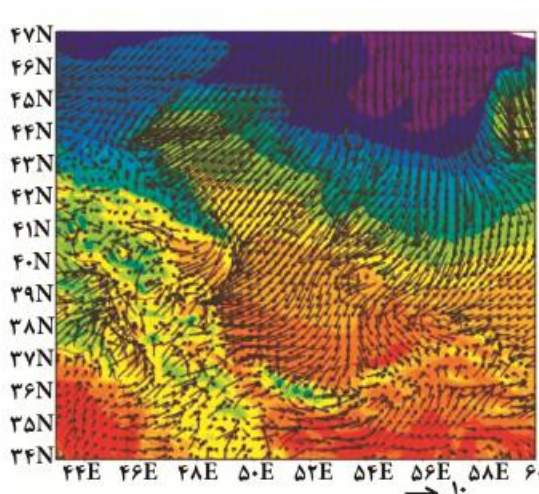
برای تبیین علت مکان‌گزینی بیشینه‌ی ارتفاع برف در حوالی جنوب تالاب انزلی (شمال شهر صومعه‌سر)، خروجی‌های الگوی دمای ۲ متری و باد ۱۰ متری حاصل از اجرای مدل برای تفکیک افقی ۷ کیلومتر، مورد مطالعه قرار گرفت.



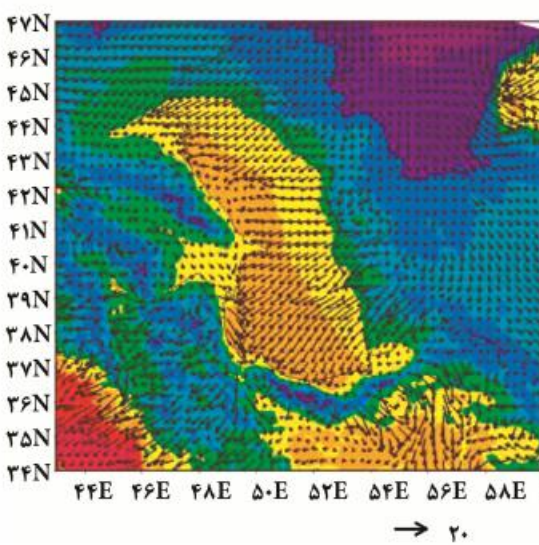
شکل ۵: (الف) الگوی میدان تاوایی نسبی (سایه‌دار) و جریان تراز ۸۵۰ مکتروپاسکال (ب) الگوی ارتفاع زئوپتانسیل (خطوط هم مدار مشکن)، میدان دما (خطوط نقطه‌چین) و میدان تاوایی نسبی تراز ۵۰۰ مکتروپاسکال (سایه‌دار).

ب. شبیه‌سازی بارش برف سنگین فوریه ۲۰۱۴ با استفاده از WRF مدل خروجی مدل

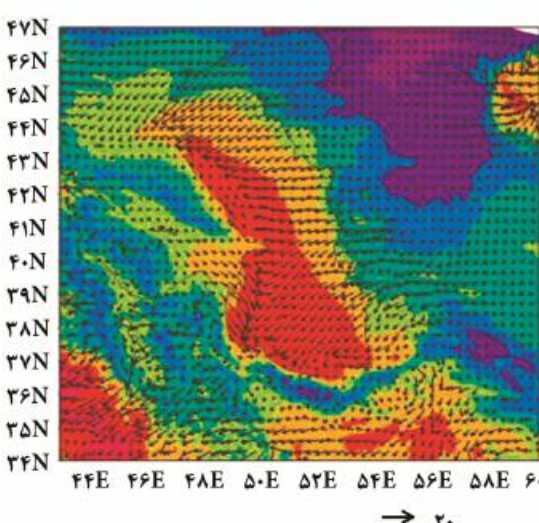
به منظر ریافتند علل و عوامل مقیاس منطقه‌ای تاثیرگذار روی عملکرد این سامانه، آشکارسازی دقیق ساختار آن و تبیین الگوی مکانی بیشینه‌ی ارتفاع برف در استان، شبیه‌سازی سامانه پیشگفتہ با دو تفکیک افقی ۲۱ و ۷ کیلومتر انجام شد. شکل ۶ مربوط به خروجی بارش تجمعی شبیه‌سازی شده، دو هسته‌ی پربارش یکی در حوالی تالاب انزلی (به صورت نواری شمالی - جنوبی در امتداد ساحل غربی کاسپین از روی کاسپین شمالی تا روی



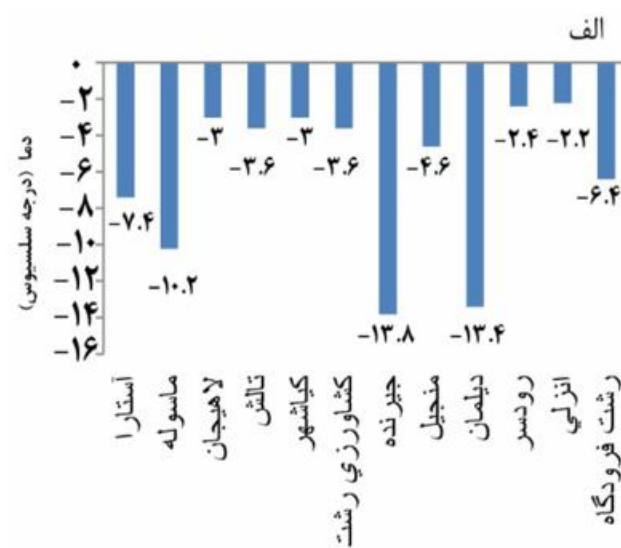
الف



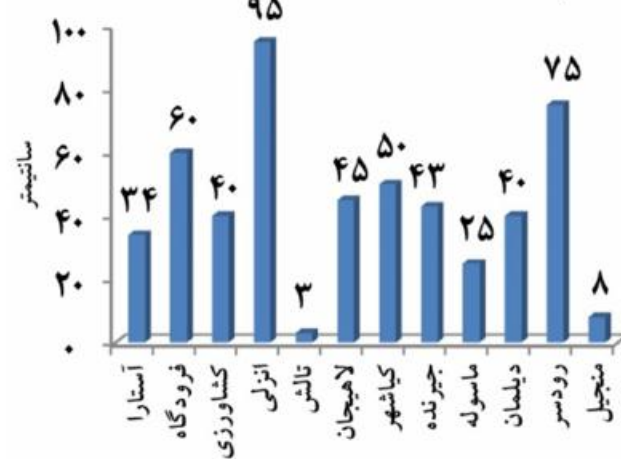
ب



ج



الف

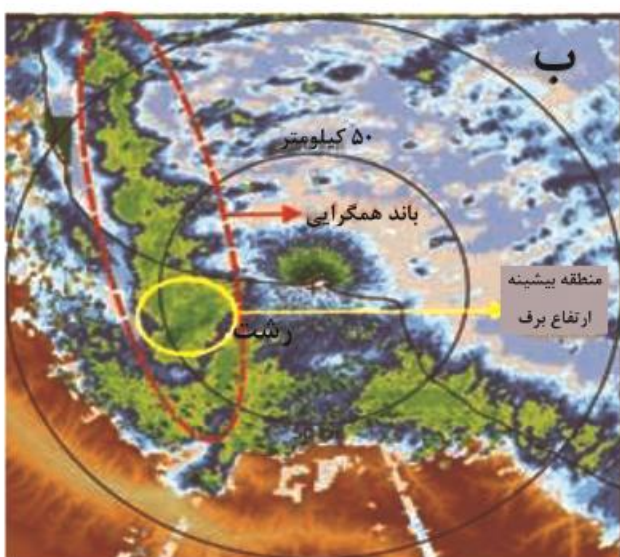


ب

شکل ۸: خروجی‌های میدان باد و دما مدل WRF برای تئیک افقی ۷ کیلومتر (الف) روز ۳۱ ژانویه (ب) روز دوم فوریه (ج) روز سوم فوریه. همگرایی باد با شیر شدید در سواحل غربی دریا بارز است.

شکل ۷: (الف) نمودار کمینه مطلق دمای ایستگاه‌های هواشناسی استان گیلان در بازه ۳۱ ژانویه تا ۴ فوریه ۲۰۱۴ (ب) ارتفاع برف در ایستگاه‌های هواشناسی استان گیلان

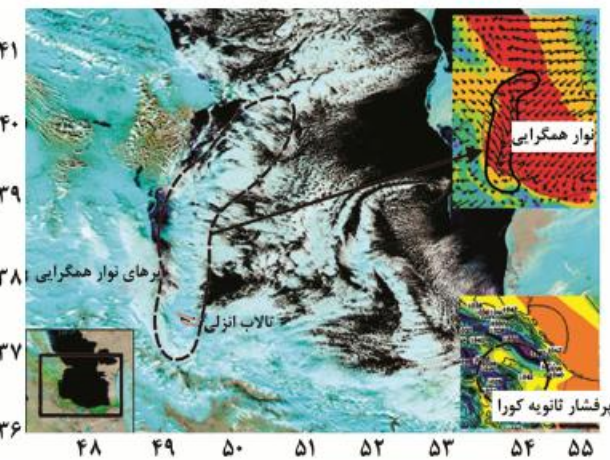
نکته‌ی برجسته‌ای که در این خروجی‌ها مشاهده می‌شود آن است که در روز ۳۱ ژانویه (آغاز بارش برف) جهت باد روی سواحل جنوب غربی کاسپین، مشخصاً شمال شرقی و شرقی بوده که با الگوی فشار سطح و حضور مرکز توده‌ی هوای پرفشار روی شمال و شمال شرق کاسپین و کمرنگ فشار کمتر روی عرض‌های پایین همچنانی دارد. اما از روز اول فوریه با حرکت جنوب سوی هوای پرفشار به سمت عرض‌های پایین و سرماشی بیشتر روی رشته کوه‌های قفقاز، همگرایی باد در امتداد غربی پهنه کاسپین شکل می‌گیرد که این همگرایی، برای روزهای دوم و سوم فوریه به شکل بارزتری روی بخش‌های غربی دریای کاسپین ادامه می‌یابد (شکل ۸ الف، ب، ج).



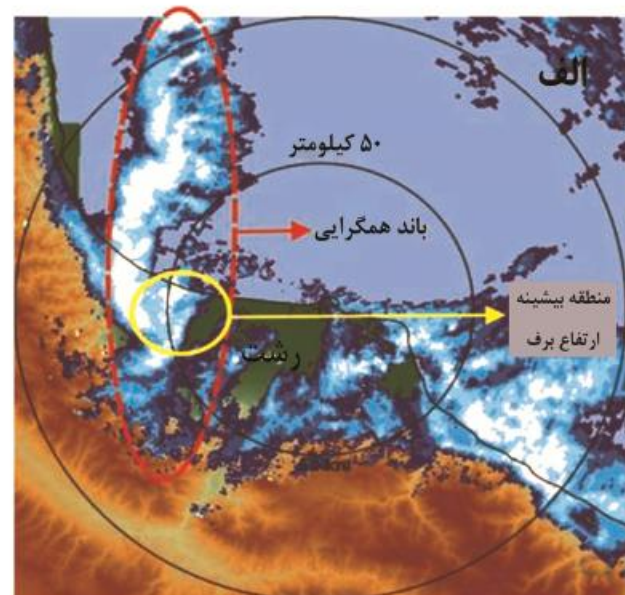
شکل ۱۰: تصاویر رادار کیاشهر در روز سوم فوریه (الف) خروجی مقدار بارش (RAIN) منطقی بر نوار همگرایی (ب) شدت بارش (SRI) منطبق بر نوار همگرایی.

در واقع ناحیه نشان داده شده، محل برخورد و تلاقی جریان باد از دو جهت شرق و غرب است که به سمت سواحل جنوب‌غربی کاسپین امتداد می‌یابند (شکل ۸). با تضعیف زبانه فشاری در سواحل و حرکت شرق سری و اچرخند سرد، انتظار می‌رفت جهت باد در سواحل غربی و جنوب غربی کاسپین به شرقی و شمال شرقی تغییر یابد. در حالی که همچنان سوی میدان باد در غالب ساعات، شمالی و شمال غربی است. برای توجیه رفتار باد سطحی در این شرایط به ویژه شکل‌گیری جهت شرق‌سوی باد از جانب رشته کوه‌های قفقاز به سواحل غربی کاسپین که با الگوهای بزرگ‌مقیاس و میان مقیاس همخوانی ندارد (در واقع این همگرایی جریان باد در الگوهای میان مقیاس و نقشه‌های با تفکیک افقی  $2/5$  درجه قابل شناسایی نیست)، تفکیک افقی ۷ کیلومتر شبیه‌سازی شده، موردن بررسی قرار گرفت. الگوی فشار سطح دریا نشان می‌دهد به تدریج از روز ۱ فوریه با حرکت جنوب‌سوی این تردد هوای پرفشار و افزایش فشار روی عرض‌های پایین‌تر، سرمایش سطحی روی رشته کوه‌های قفقاز تقویت می‌شود. نکته حائز اهمیت شکل‌گیری پرفشار ثانویه با مرکز بیش از  $1042$  هکتوپاسکال در مقیاس محلی روی بخش‌هایی از قفقاز و جلگه‌ی کورا در کشور آذربایجان است (شکل ۱۱ ب). شکل‌گیری این تردد هوای پرفشار منطبق با منطقه‌ای محصور شده توسط رشته کوه‌های بلند و محل

این جریان‌های همگرا شده با طی مسافت قابل ترجمه روی پهنه آبی و کسب رطوبت و انرژی کافی از سمت دریا و با سوی مناسب به سواحل جنوب‌غربی کاسپین و حوالی تالاب انزلی وارد شده و حامل شارهای رطوبتی از جانب دریا به خشکی هستند که با ورود به محدوده‌های کرچک در خشکی، موجب تشدید ناپایداری در لایه‌های زیرین جو در آن محدوده می‌گردد. شکل‌گیری باند ابر منطبق بر ناحیه همگرایی جریان باد، روی پهنه غربی کاسپین، در تصویر سنجنده مودیس ماهواره ترا (شکل ۹) و همین‌طور محصول‌های مقادیر بارش و شدت بارش مربوط به رادار گیلان (کیاشهر) نیز به وضوح مشهود است (شکل ۱۰).

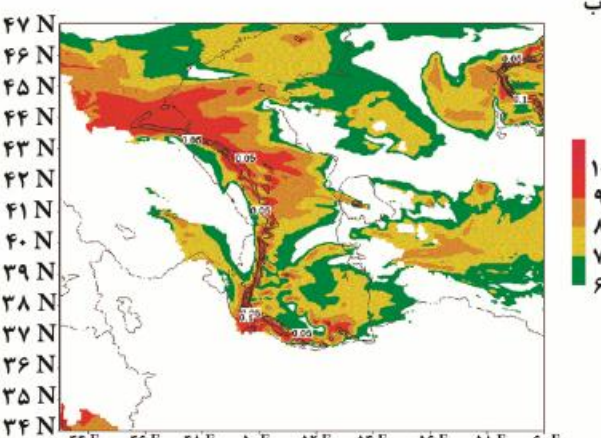
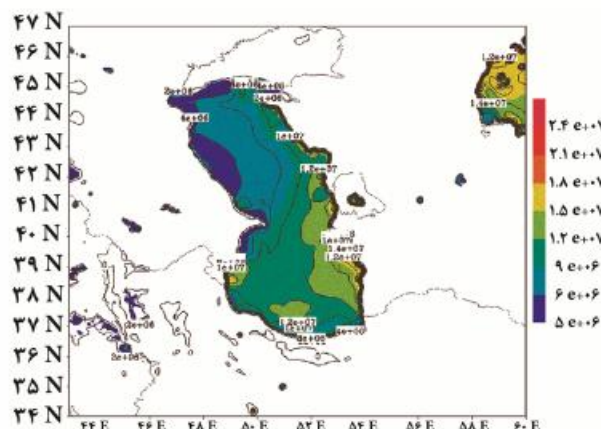


شکل ۹: شکل‌گیری ابرهای نوار همگرایی در پهنه جنوب‌غربی دریای کاسپین در تصویر سنجنده مودیس ماهواره ترا در تاریخ ۲۰۱۴/۲/۲.



ترجمه به تضعیف پربندهای فشاری روی استان گیلان و تضاد دمایی میان پهنه‌ی آبی کاسپین و سطح خشکی در غرب سواحل کاسپین، جریان‌های شرق‌سو از جانب این ترده هوای پرفشار ثانویه شکل می‌گیرد که در محل تلاقی با جریان‌های غرب‌سو در امتداد پهنه‌ی غربی کاسپین، به منطقه محدودی وارد می‌شود که موجب تشدید ناپایداری می‌گردد (شکل ۸ ب، ج).

در محدوده‌ی شرق گیلان و غرب مازندران، هسته‌ی شارگرمای نهان در مجاورت خط ساحلی، به عنوان شار گرمایی که در اثر فرآیندهای فیزیکی مانند تبخیر از سطح آب و پس از آن تراکم بخار آب به درون جو متنقل می‌شود، وجود دارد که به عنوان واداشت ترمودینامیکی موجب تشدید بارش در خط ساحلی می‌گردد (شکل ۱۲).

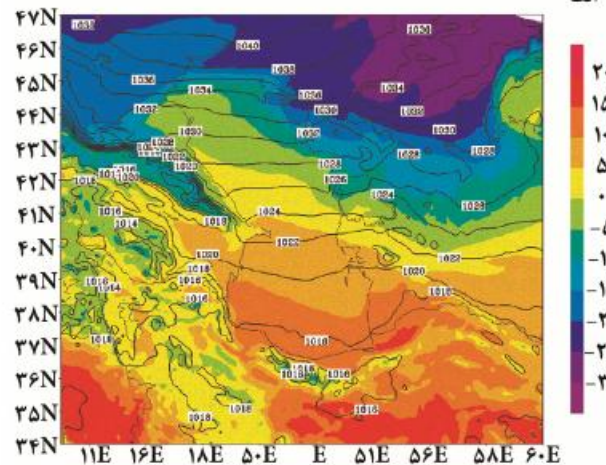


شکل ۱۲: خروجی‌های مدل WRF برای تفکیک افقی ۷ کیلومتر (الف) مربوط به شار گرمای نهان و محسوس (ب) مربوط به سرعت فائتم تراز ۷۰۰ مکتوپاسکال و رطوبت نسبی، روز سوم فوریه.

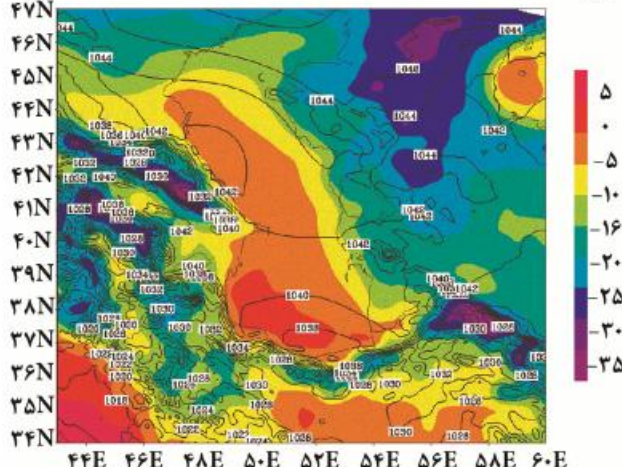
به عبارت دیگر، الگوی شارهای سطحی (شار گرمای نهان و محسوس) مقادیر بیشینه‌ی این فرآینج فیزیکی را روی پهنه

فرونشینی جریان‌های سرد ریزشی از جانب رشته کوه‌های قفقاز، به عنوان واداشت توپوگرافی محسر می‌شود. الگوی دمای ۲ متري نیز حضور هسته‌های سرد دمایی را روی رشته کوه‌های قفقاز نشان می‌دهد (شکل ۱۱ ب). به نظر می‌رسد شکل گیری جریان‌های سرد کوه به دشت ناشی از سرمایش سطحی روی رشته کوه‌های قفقاز می‌تواند به عنوان عامل شکل گیری این پرفشار ثانویه و در مقیاس محلی عمل کند. در این پژوهش این سامانه‌ی پرفشار، پرفشار ثانویه‌ی کررا (قفقاز) نامیده شد.

الف



ب



شکل ۱۱: خروجی‌های میدان فشار سطح دریا و دما مدل WRF برای تفکیک افقی ۷ کیلومتر (الف) مربوط به روز ۳۱ زانویه (عدم شکل گیری پرفشار کررا) (ب) مربوط به روز سوم فوریه (شکل گیری پرفشار کررا).

با حضور این پرفشار ثانویه روی غرب سواحل کاسپین که شار مرکزی آن بیشتر از مقادیر فشار روی پهنه کاسپین جنوبی و سواحل جنوب غربی کاسپین (جلگه‌ی مرکزی گیلان) است و با

است. یکی از این پدیده‌ها که می‌تواند منجر به وقوع مخاطره در ابعاد گسترده در جرایم انسانی گردد، بارش برف سنگین است. برف فوریه ۲۰۱۴ نمونه‌ای از بارش ابرسنگین برف است. در این پژوهش برای نخستین بار به منظور تبیین شکل‌گیری الگوی مکانی بیشینه ارتفاع برف در پهنه‌ی جلگه‌ی گیلان، تلاش شده است چگونگی شکل‌گیری، علل و عوامل موثر بر سازوکار این سامانه، با استفاده از اجرای مدل عددی WRF با تفکیک افقی ۷ کیلومتر مورد بررسی قرار گیرد. علاوه بر این نقش واداشت‌های تاثیرگذار بر تقویت و تشدید بارش برف در مقیاس مکانی خرد و مکان گزینی بیشینه ارتفاع برف در منطقه مورد شناسایی قرار گرفت. برخی از نتایج به دست آمده عبارتند از:

(۱) در ابعاد میان‌مقیاس، منشاء شکل‌گیری این سامانه، واپرخند سرد اروپایی است که با هسته قری از مجاورت سرزمین‌های قطبی، جنوب دریای بارنتز (عرض ۶۰ درجه)، به سمت عرض‌های پایین‌تر نفرود کرده و پس از ادغام با پرفشار نیمه دائمی سیبری بر روی شمال دریای کاسپین قرار می‌گیرد.

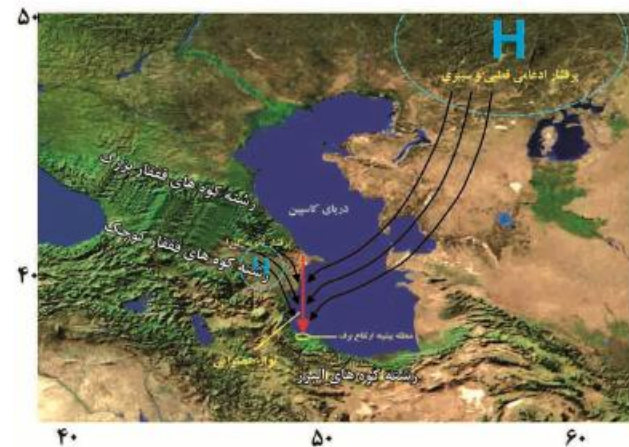
(۲) گردش ساعتگرد (واپرخندی) این تردد هوای پرفشار که گستره‌ی جغرافیایی وسیعی از کشور روسیه تا شمال چین را شامل می‌شود، در وردسپهر زیرین با فرارفت هوای سرد به نیمه شمالی کشور همراه است.

(۳) از تراز ۷۰۰ هکتارپاسکالی به بالا، عبر ناوه ارتفاعی عمیق با محور شمال شرق-جنوب غرب، همراه با تاوایی مثبت قوی موجب تقویت ناپایداری و تشدید حرکت‌های صعودی در لایه‌های زیرین و میانی وردسپهر می‌گردد. این شرایط در الگوی ارتفاع ژئوتانسیلی تراز ۵۰۰ هکتارپاسکالی مشهود است. از طرفی شکل‌گیری الگوی بندالی امکانی (Ω)، موجب ماندگاری چندین روزه سامانه و حرکت کند این موج ناپایدار به شرق گردید.

(۴) خروجی بارش حاصل از شیوه‌سازی مدل عددی WRF برای تفکیک افقی ۷ کیلومتر، الگوی مکانی بیشینه ارتفاع برف که شامل دو هسته‌ی پربارش یکی در شرق گیلان و دیگری در جنوب حوالی تالاب انزلی بوده است را به خوبی آشکارسازی کرده است.

(۵) نکته حائز اهمیت در خروجی باد ۱۰ متری در منطقه آن است که با حرکت جنوب‌سی و هسته پرفشار سرد به سمت عرض‌های پایین‌تر، سرمایش روی منطقه قفقاز و رشته کوه‌های بلند این منطقه تشدید می‌شود. این شرایط در الگوی

کاسپین جنوبی در مجاورت شرق گیلان نشان می‌دهد که میان تبادل مشخصه‌های گرما و رطوبت در لایه‌های زیرین وردسپهر میان تردد هوای سرد نفوذی از سمت عرض‌های بالا و تردد گرم آب است. در عملکرد این سامانه، جدای از سازوکار پریشی حاکم بر آن، درون شارش گرما و رطوبت و همچنین تبادل شارهای سطحی بین دو سیال نقش مهمی در تشديد بارش‌ها در بخش‌های رو به باد سواحل در شرق گیلان ایفا می‌کند. در واقع بدون در نظر گرفتن عوامل دینامیکی، بزرگ‌مقیاس و میان‌مقیاس موثر بر شدت بارش برف در منطقه، تاثیر عوامل خرد‌مقیاس نظیر شارهای سطحی به ویژه در لایه‌های زیرین وردسپهر در تقویت بارش را نمی‌توان نادیده گرفت. علاوه بر این وجود بیشینه سرعت قائم مثبت در میانه وردسپهر، منطبق بر بیشینه رطوبت نسبی (شرایط اشباع)، بر تشدید ناپایداری و شکل‌گیری ابرهای بارش‌زا در امتداد باند همگرایی باد دلالت دارد. با ترجمه به نتایج به دست آمده، طرح واره‌ای از چگونگی شکل‌گیری الگوی مکانی بیشینه ارتفاع برف در جنوب تالاب انزلی در سامانه فوریه ۲۰۱۴ در شکل ۱۳ نمایش داده شده است.



شکل ۱۳: طرح واره چگونگی شکل‌گیری الگوی مکانی بیشینه ارتفاع برف جنوب تالاب انزلی در سامانه فوریه ۲۰۱۴.

#### ۴. نتیجه‌گیری کلی

شناسایی سازوکار گردش بزرگ مقیاس و میان مقیاس جو و چگونگی ارتباط آن با واداشت‌های منطقه‌ای می‌تواند در تبیین شکل‌گیری پدیده‌های خرد‌مقیاس و محلی راهگشا باشد. استان گیلان با برخوداری از ویژگی‌ها و مولفه‌های جغرافیایی منحصر به فرد، کانون شکل‌گیری بسیاری از پدیده‌های فرین در منطقه

دریای کاسپین غافل بود. این واداشت ناشی از وجود کوهستان در بخش غربی دریا و اثرات آن در جریانهای جریان در مقیاس قائم و افقی است.

(۱۱) علاوه بر تمامی موارد ذکر شده، نکته‌ای که در مکان‌گرینی باشد برف در جلگه‌ی مرکزی نباید از نظر دور داشت. نقش نحوه کشیدگی خط ساحل دریای کاسپین در بخش جنوب‌غربی است. بدین صورت که در بخش غربی گیلان (سواحل تالش) به دلیل اینکه خط ساحلی موازی با جریان‌های عبوری از روی دریا است، کمترین تماس و برخورد با این جریان‌ها در خشکی صورت می‌پذیرد. اما نحوه کشیدگی خط ساحل در مرکز گیلان، شرایط مساعدی را برای برخورد این جریان‌های همگرا با ساحل فراهم کرده است. بنابراین خط ساحل مرکزی گیلان عمود بر جریان‌های عبوری از روی دریای کاسپین است و در این مرحله جریان با ورود به خشکی به نسبه گستردگی جلگه‌ی مرکزی گیلان، شرایط برای وقوع پدیده‌ی جری فراهم می‌گردد. علاوه بر این نباید از واداشت کوههای موجود در پسکرانه در جلگه‌ی مرکزی گیلان، غافل بود.

(۱۲) این مطالعه نه تنها سبب افزایش دانش هواشناسی در زمینه‌ی برف‌های سنگین گیلان می‌شود، بلکه کمک موثری به شناسائی مکان‌های تحت تاثیر خطر برف سنگین می‌نماید. بنابراین با شناسائی این کانون‌ها در مبحث مدیریت خطر، می‌توان با شناخت از کانون‌های بحران، از افزایش خسارت‌ها کاست و خدمات به موقع تری به افراد آسیب‌پذیر ارائه کرد.

#### منابع

بابایی فیضی، الف؛ علیجانی، ب.، ۱۳۹۲. تحلیل فضایی خشکسالی‌های بلندمدت ایران، پژوهش‌های جغرافیایی طبیعی، شماره ۴۵. شماره ۳. صفحات ۱-۱۲.

بهرامی، ش؛ بهرامی، ک.، ۱۳۹۰. ارزیابی تکیک‌های ژئوموفورولوژیکی جهت شناسایی محروم‌افکنهای قدیمی و جدید به منظور تعیین مناطق مستعد سیل‌خیزی در چهار محروم‌افکنه در زاگرس چین‌خوردۀ، جغرافیا و توسعه. شماره ۲۲. صفحات ۸۹-۱۰۶.

خوش‌اخلاق، ف؛ محمدی، ح؛ شمسی‌پور، ع؛ افتادگان خوزانی، الف، ۱۳۹۱. واکاوی همدید بارش تگرگ فراگیر در شمال غرب ایران، جغرافیا و مخاطرات محیطی، شماره ۲. صفحات ۵۵-۶۹.

دمای ۲ متری به خوبی مشهود است. شکل‌گیری جریان‌های سرد کره به دشت ناشی از حضور هسته‌های سرد روی رشته کوه‌های فتفاز بزرگ و کرچک، سبب شکل‌گیری یک سلول پرفشار ثانویه با مرکز بیش از ۱۰۴۰ هکتارپاسکال در مقیاس محلی روی جلگه‌ی کورا در کشور آذربایجان می‌شود. که با توجه به محل شکل‌گیری آن در این جلگه، پرفشار ثانویه کورا نامیده شد.

(۶) حضور این پرفشار ثانویه روی غرب سواحل کاسپین (جلگدی کورا) و تضعیف پربندهای فشاری بر سواحل جنوبی کاسپین و همچنین تباين دمایی میان پهنه آبی کاسپین و دمای سطح خشکی در غرب سواحل (جلگه‌ی کورا) موجب شکل‌گیری جریان‌های شرق‌سر از سمت جلگدی کورا به سمت پهنه‌ی آبی کاسپین جنوبی می‌گردد. این جریان‌های شرق سو به عنوان واداشت مقیاس محلی در مقابل جریان باد غرب‌سو که از سمت ترده هوا پرفشار مستقر در شمال‌شرق دریای کاسپین قرار دارد عمل کرده و همگرایی جریان باد را در محل تلاقی آن‌ها و به سمت عرض‌های پایین سبب می‌شود.

(۷) جریان باد همگرا شده به صورت باند همگرایی در امتداد ساحل غربی پهنه کاسپین جنوبی، به محدوده‌ی کرچکی در سواحل جنوب‌غربی کاسپین و حوالی تالاب انزلی وارد شده است.

(۸) در محدوده‌ی شرق گیلان، وجود هسته‌ی بیشینه شار گرمای نهان روی پهنه کاسپین جنوبی در بخش‌های شرقی گیلان و غرب مازندران، به عنوان واداشت ترمودینامیکی موجب تشدید و تقویت تبادل گرما و رطوبت بین پهنه آبی و ترده هوا بسیار سرد در لایه‌های زیرین و ردیفه‌ی می‌گردد.

(۹) بیشینه‌ی سرعت قائم منطبق بر نوار همگرایی در امتداد غربی پهنه کاسپین و همچنین در غرب مازندران با بیشینه‌ی بارش در منطقه تطبیق دارد که میین شدت ناپایداری در آن مناطق است. وجود رطوبت نسبی بیش از ۹۰ درصد، اشیاع ترده هوا و شکل‌گیری ابرهای بارشی در این تراز را تایید می‌کند.

(۱۰) چگونگی نحوه آرایش باند همگرایی و خروجی مدل WRF در میزان بارش در راستای سواحل غربی دریای کاسپین، نشان از واداشت ساحل غربی دریا کاسپین برای جریان‌های ورودی از مناطق شرقی دریا دارد، در زمینه‌ی همگرایی یافته شده در این پژوهش نیز نمی‌توان از واداشت ساحل غربی

- برف‌های سنگین جلگه‌ی گیلان در نیم سده اخیر. نشریه جغرافیا و مخاطرات محیطی، دوره ۳. شماره ۱. ۱۳۹۰.
- یمانی، م؛ محمدی، الف؛ نگهبان، س. ۱۳۸۹. پهنه‌بندی زمین‌لغزش در حوضه‌ی آبخیز توکابن با استفاده از مدل‌های کمی، جغرافیا و توسعه، شماره ۱۹. صفحات ۸۳-۹۸.
- Chen, F.; Dudhia, J., 2001. Coupling an advanced land surface-hydrology model with the Penn State-NCAR MM5 modeling system. Part I: Model implementation and sensitivity. *Monthly Weather Review* 129(4): 569-585.
- Dudhia, J., 1989. Numerical study of convection observed during the winter monsoon experiment using a mesoscale two-dimensional model. *Journal of the Atmospheric Sciences*, 46(20): 3077-3107.
- Ek, M.B.; Mitchell, K.E.; Lin, Y.; Rogers, E.; Grunmann, P.; Koren, V.; Gayno, G.; Tarpley, J.D., 2003. Implementation of Noah land surface model advances in the National Centers for Environmental Prediction operational mesoscale Eta model. *Journal of Geophysical Research - Atmospheres*, 108(D22): 8851.
- Hong, S.Y., 2010. A new stable boundary-layer mixing scheme and its impact on the simulated East Asian summer monsoon. *Quarterly Journal of the Royal Meteorological Society*, 136(651): 1481-1496.
- Hong, S.; Noh, Y.; Dudhia, J., 2006. A new vertical diffusion package with an explicit treatment of entrainment processes. *Monthly Weather Review* 134(9): 2318-2341.
- Higuchi, K., 1963. The band structure of snowfalls, *Journal of the Meteorological of Japan Sea*, 41(1): 53-70PP.
- Kidnap, T., 2006. The Black Sea impact on the severe snow episode over the city of Istanbul, *Geophysical Research Abstracts*, vol 8, European Geosciences Union.
- ذوالفاری، ح؛ معصوم‌پور سماکوش، ج؛ شایگان مهر، ش؛ احمدی، ایران طی سال‌های ۱۳۸۴ تا ۱۳۸۸ (مطالعه موردی: موج فرآگیر تیر ماه ۱۳۸۸)، مجله جغرافیا و برنامه‌ریزی محیطی، سال ۲۲. شماره ۴۳. صفحات ۱۷-۳۴.
- عزیزی، ق؛ سلطانی، م؛ حنفی، ع؛ رنجبر، ع؛ میرزایی، الف. ۱۳۹۰. تحلیل اثر بلوکینگ در ایجاد بارش‌های شدید (مطالعه موردی: بارش ۴ تا ۷ آبان‌ماه ۱۳۸۷ شمال غرب ایران)، سال ۲۶. شماره ۱۰۳. صفحات ۱۱۷-۱۴۸.
- عزیزی، ق؛ اکبری، ط؛ داوودی، م؛ اکبری، م. ۱۳۸۸. تحلیل همدیدی موج سرمای شدید دی‌ماه ۱۳۸۶ ایران، پژوهش‌های جغرافیای طبیعی، شماره ۷۰ صفحات ۱-۱۹.
- فرج زاده، م؛ حسینی، س.الف. ۱۳۸۹. تحلیل و پهنه‌بندی زمانی و مکانی یخ‌بندان در ایران ، جغرافیا و توسعه تاحیه‌ای، شماره ۱۵. صفحات ۶۵-۹۰.
- فرید مجتبی‌دی، ن؛ خوش‌اخلاق، ف؛ نیری، م؛ افتخارمش، ح. ۱۳۸۵. واکاوی همدیدی رخداد بارش برف سنگین فوریه ۲۰۰۵ استان گیلان، *علوم جغرافیایی*، شماره ۴. صفحات ۱۵۳-۱۵۶.
- فهیمی نژاد، الف؛ حجازی زاده، ز؛ علیجانی، ب؛ ضیانیان، پ. ۱۳۸۶. تحلیل سینزیتیکی و فضایی توفان برف استان گیلان (فوریه ۲۰۰۵). سومین کنفرانس بین‌المللی مدیریت جامع بحران در حوادث غیر مترقبه. ۱۸ صفحه.
- قطرانی، ع؛ کریمی، ج. ۱۳۸۸. پهنه‌بندی خطر بهمن در جاده هراز بر اساس ویژگی‌های ژئومورفوژئیکی، نشریه تحقیقات کاربردی علوم جغرافیایی، جلد ۱۲. شماره ۹. صفحات ۸۲-۱۰۰.
- گیشاپاسی، ۱۳۷۴ راهنمای کشورهای مستقل مشترک المان و جمهوری‌های بالتیک، سازمان جغرافیایی و کارتوگرافی گیشاپاسی، تهران چاپ اول. ۳۵۲ صفحه.
- لشکری، ح؛ کیخسروی، ق. ۱۳۸۹. تحلیل سینزیتیکی توفان گز و اثرات آن بر جنوب شرق ایران، مجله جغرافیا و برنامه‌ریزی محیطی، سال ۲۱. شماره ۳۹. صفحات ۱-۲۰.
- نگاه، س؛ فرید مجتبی‌دی، ن؛ عزیزی، الف؛ اسدی اسکوئی، الف. ۱۳۹۳. شناسایی الگوی مکانی و پهنه‌بندی ریسک برف گستره جلگه‌ی مرکزی گیلان با استفاده از تصاویر ماهواره‌ای. ششمین کنفرانس بین‌المللی مدیریت جامع بحران. ۱۱ صفحه.
- مومن‌پور، ف؛ نگاه، س؛ هادی نژاد صبوری، ش؛ فرید مجتبی‌دی، ن؛ اسدی اسکوئی، الف. ۱۳۹۳. واکاوی سازوکار رخداد مخاطره

- snowstorm of the Great Salt Lake, *Monthly Weather Review*, 128(3): 709-727.
- Sobash, R.; Laird, N.F., 2005. An investigation of New York State Finger Lake snow band events, *Preprints, 5th Annual Student Conf., AMS Annual meeting*. Wilken, G.R., 1997. A Lake-effect snow in Arkansas, *NWS/NOAA Tech. Attachment SR/SSD*, 97-21.
- Wild, O.; Zhu, X.; Prather, M.J., 2000. Fast-J: Accurate simulation of in-and below-cloud photolysis in tropospheric chemical models. *Journal of Atmospheric Chemistry*, 37(3): 245-282.
- Kain, J.S., 2004. The Kain-Fritsch convective parameterization: An update. *Journal of Applied Meteorology*, (43): 170-181.
- Marwitz, J.D.; Toth, J., 1992. A case study of heavy snowfall in Oklahoma. *Monthly Weather Review*, 121(3): 648-660.
- Obukhov, A.M., 1971. Turbulence in an atmosphere with a non-uniform temperature. *Boundary-Layer Meteorology*, 2(1): 7-29.
- Payer, M.; Desrochers, J.; Laird, N.F., 2007. A lake-effect snowband over Lake Champlain. *Monthly Weather Review*, 135(11): 3895-3900PP.
- Steenburgh, W.J., 2000. Climatology of Lake-effect